

### Eingabe: Farbmétrisches Reflexions-System ORS18

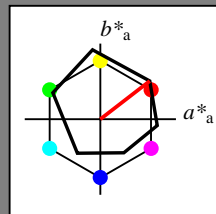
für Buntton  $h^* = lab^*h = 38/360 = 0.105$

LAB\*LCH, LAB\*NCH

D65: Buntton O

LCH\*Ma: 48 83 38

olv\*Ma: 1.0 0.0 0.0



#### ORS18; adaptierte CIELAB-Daten

	$L^*=L_a^*$	$a_a^*$	$b_a^*$	$C_{ab,a}^*$	$h_{ab,a}^*$
O <sub>Ma</sub>	47.94	65.37	50.52	82.62	38
Y <sub>Ma</sub>	90.37	-10.27	91.77	92.34	96
L <sub>Ma</sub>	50.9	-62.79	34.95	71.87	151
C <sub>Ma</sub>	58.62	-30.35	-45.01	54.3	236
V <sub>Ma</sub>	25.71	31.11	-44.42	54.24	305
M <sub>Ma</sub>	48.13	75.27	-8.35	75.73	354
N <sub>Ma</sub>	18.01	0.0	0.0	0.0	0
W <sub>Ma</sub>	95.41	0.0	0.0	0.0	0
R <sub>CIE</sub>	39.92	58.66	26.98	64.56	25
J <sub>CIE</sub>	81.26	-2.17	67.76	67.79	92
G <sub>CIE</sub>	52.23	-42.26	11.75	43.87	164
B <sub>CIE</sub>	30.57	1.15	-46.84	46.87	271

CIELAB-Helligkeit  $L^*$

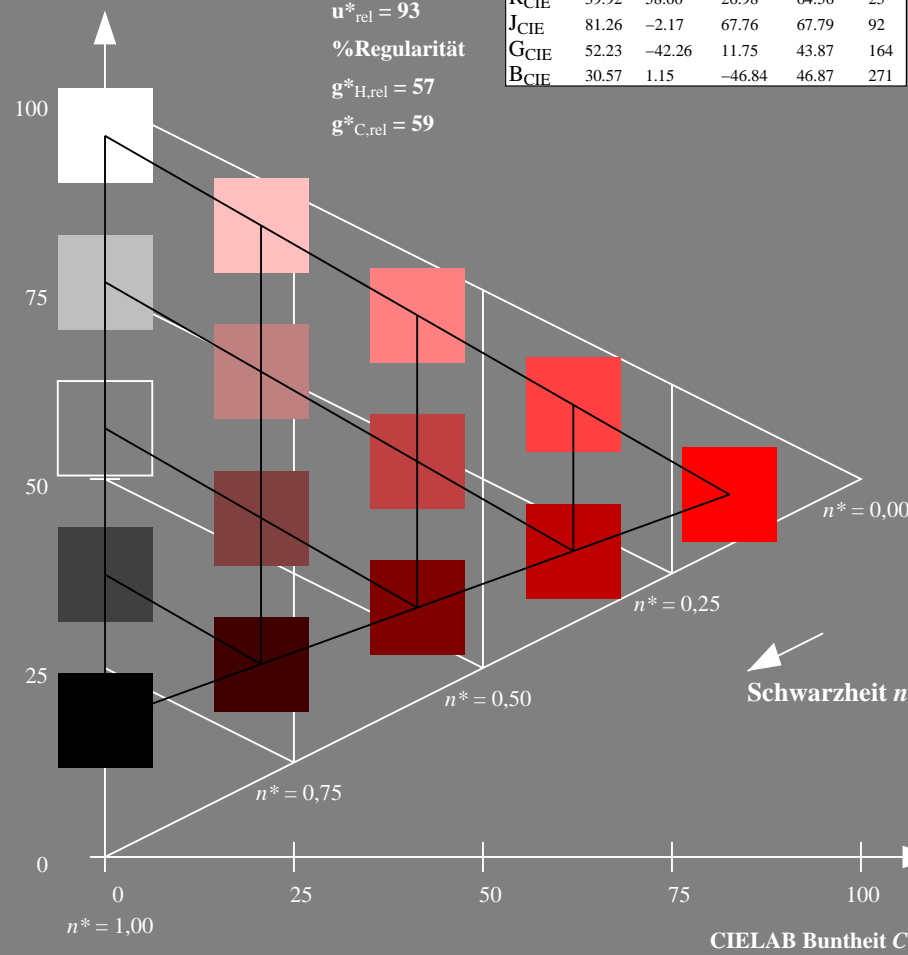
%Umfang

$u_{rel}^* = 93$

%Regularität

$g_{H,rel}^* = 57$

$g_{C,rel}^* = 59$



TG300-7, 5 stufige Reihen für konstanten CIELAB Buntton  $38/360 = 0.105$  (links)

### Ausgabe: Farbmétrisches Reflexions-System MRS18

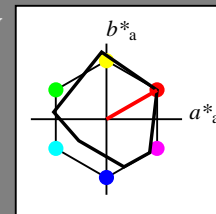
für Buntton  $h^* = lab^*h = 30/360 = 0.083$

LAB\*LCH, LAB\*NCH

D65: Buntton R

LCH\*Ma: 50 77 30

olv\*Ma: 1.0 0.0 0.0



#### MRS18; adaptierte CIELAB-Daten

	$L^*=L_a^*$	$a_a^*$	$b_a^*$	$C_{ab,a}^*$	$h_{ab,a}^*$
R <sub>Ma</sub>	49.63	66.96	38.37	77.18	30
J <sub>Ma</sub>	90.7	-6.36	88.75	88.98	94
G <sub>Ma</sub>	52.11	-69.73	9.44	70.37	172
G50B <sub>Ma</sub>	45.03	-36.57	-28.47	46.36	218
B <sub>Ma</sub>	36.65	23.19	-63.05	67.18	290
B50R <sub>Ma</sub>	34.94	57.17	-44.26	72.31	322
N <sub>Ma</sub>	18.01	0.0	0.0	0.0	0
W <sub>Ma</sub>	95.41	0.0	0.0	0.0	0
R <sub>CIE</sub>	39.92	58.66	26.98	64.56	25
J <sub>CIE</sub>	81.26	-2.17	67.76	67.79	92
G <sub>CIE</sub>	52.23	-42.26	11.75	43.87	164
B <sub>CIE</sub>	30.57	1.15	-46.84	46.87	271

CIELAB-Helligkeit  $L^*$

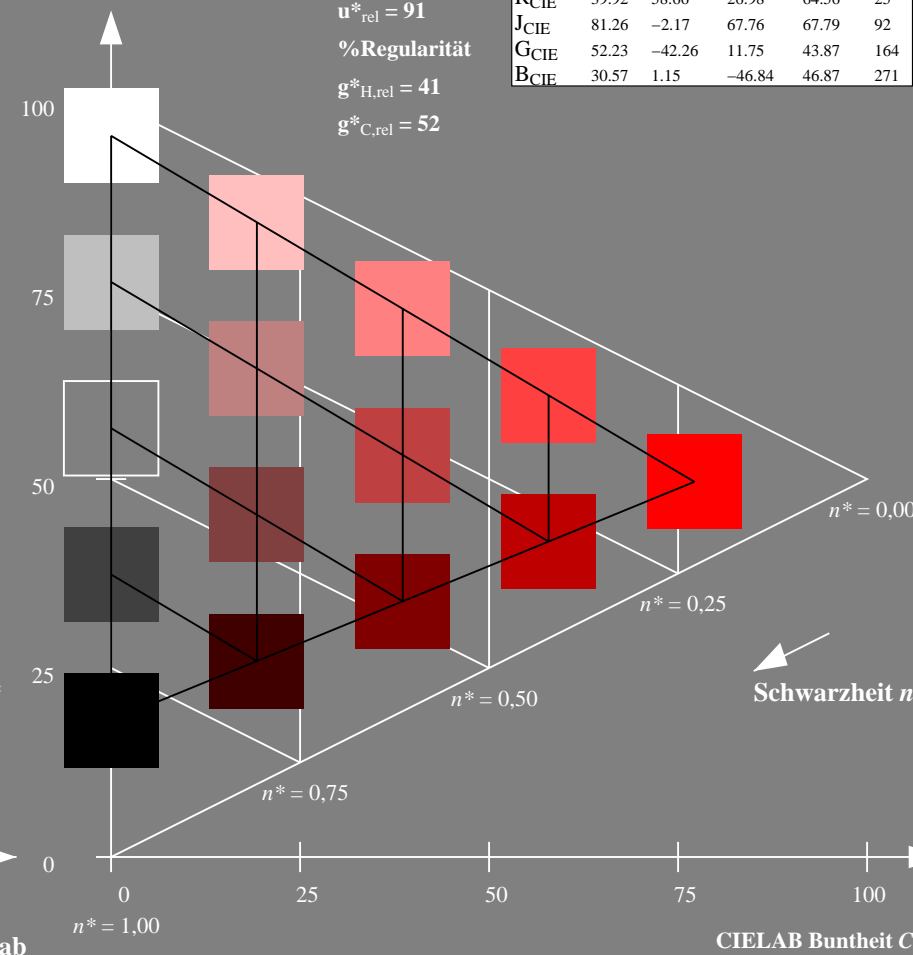
%Umfang

$u_{rel}^* = 91$

%Regularität

$g_{H,rel}^* = 41$

$g_{C,rel}^* = 52$



5 stufige Reihen für konstanten CIELAB Buntton  $30/360 = 0.083$  (rechts)

BAM-Prüfvorlage TG30; Farbmétrik-Systeme ORS18 & MRS18input: olv\* setrgbcolor

D65: Koordinatensysteme; 5stufige Farbreihen für 10 Bunttöne output: no change compared to input

### Eingabe: Farbmimetrisches Reflexions-System ORS18

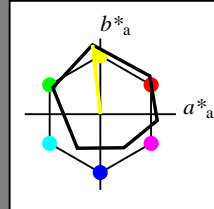
für Buntton  $h^* = lab^*h = 96/360 = 0.268$

LAB\*LCH, LAB\*NCH

D65: Buntton Y

LCH\*Ma: 90 92 96

olv\*Ma: 1.0 1.0 0.0



#### ORS18; adaptierte CIELAB-Daten

	$L^*=L^*_a$	$a^*_a$	$b^*_a$	$C^*_{ab,a}$	$h^*_{ab,a}$
O <sub>Ma</sub>	47.94	65.37	50.52	82.62	38
Y <sub>Ma</sub>	90.37	-10.27	91.77	92.34	96
L <sub>Ma</sub>	50.9	-62.79	34.95	71.87	151
C <sub>Ma</sub>	58.62	-30.35	-45.01	54.3	236
V <sub>Ma</sub>	25.71	31.11	-44.42	54.24	305
M <sub>Ma</sub>	48.13	75.27	-8.35	75.73	354
N <sub>Ma</sub>	18.01	0.0	0.0	0.0	0
W <sub>Ma</sub>	95.41	0.0	0.0	0.0	0
R <sub>CIE</sub>	39.92	58.66	26.98	64.56	25
J <sub>CIE</sub>	81.26	-2.17	67.76	67.79	92
G <sub>CIE</sub>	52.23	-42.26	11.75	43.87	164
B <sub>CIE</sub>	30.57	1.15	-46.84	46.87	271

CIELAB-Helligkeit  $L^*$

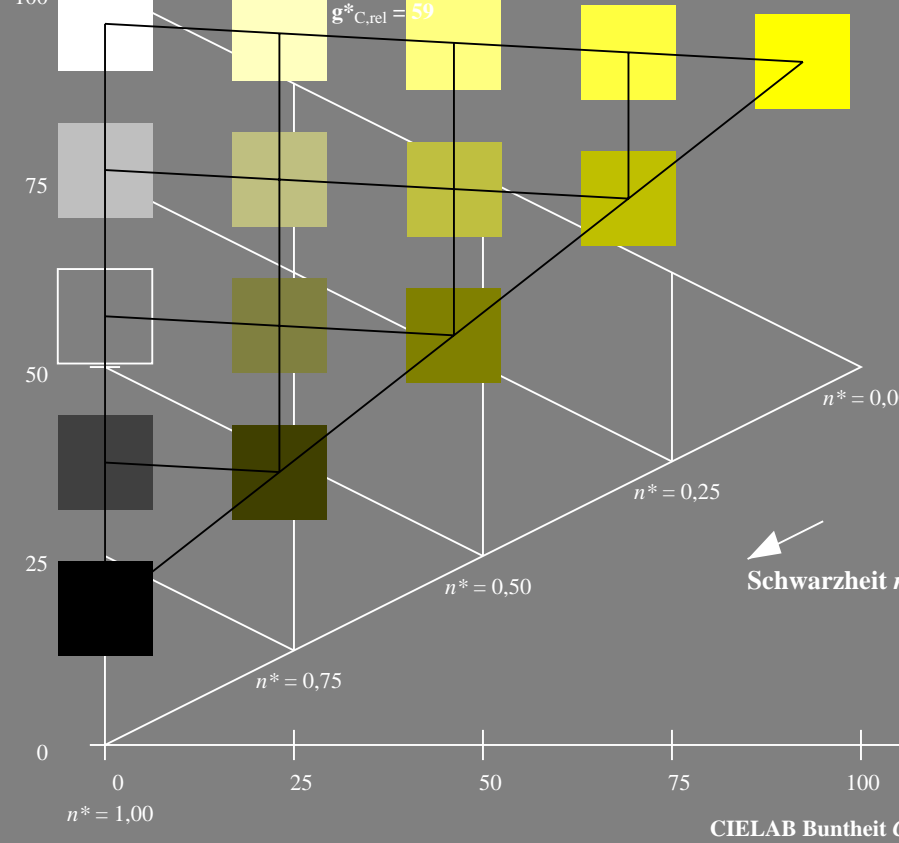
%Umfang

$u^*_{rel} = 93$

%Regularität

$g^*_{H,rel} = 57$

$g^*_{C,rel} = 59$



Schwarzheit  $n^*$

TG300-7, 5 stufige Reihen für konstanten CIELAB Buntton  $96/360 = 0.268$  (links)

### Ausgabe: Farbmimetrisches Reflexions-System MRS18

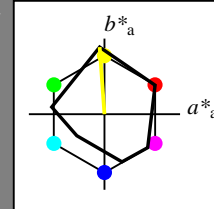
für Buntton  $h^* = lab^*h = 94/360 = 0.261$

LAB\*LCH, LAB\*NCH

D65: Buntton J

LCH\*Ma: 91 89 94

olv\*Ma: 1.0 1.0 0.0



#### MRS18; adaptierte CIELAB-Daten

	$L^*=L^*_a$	$a^*_a$	$b^*_a$	$C^*_{ab,a}$	$h^*_{ab,a}$
R <sub>Ma</sub>	49.63	66.96	38.37	77.18	30
J <sub>Ma</sub>	90.7	-6.36	88.75	88.98	94
G <sub>Ma</sub>	52.11	-69.73	9.44	70.37	172
G50B <sub>Ma</sub>	45.03	-36.57	-28.47	46.36	218
B <sub>Ma</sub>	36.65	23.19	-63.05	67.18	290
B50R <sub>Ma</sub>	34.94	57.17	-44.26	72.31	322
N <sub>Ma</sub>	18.01	0.0	0.0	0.0	0
W <sub>Ma</sub>	95.41	0.0	0.0	0.0	0
R <sub>CIE</sub>	39.92	58.66	26.98	64.56	25
J <sub>CIE</sub>	81.26	-2.17	67.76	67.79	92
G <sub>CIE</sub>	52.23	-42.26	11.75	43.87	164
B <sub>CIE</sub>	30.57	1.15	-46.84	46.87	271

CIELAB-Helligkeit  $L^*$

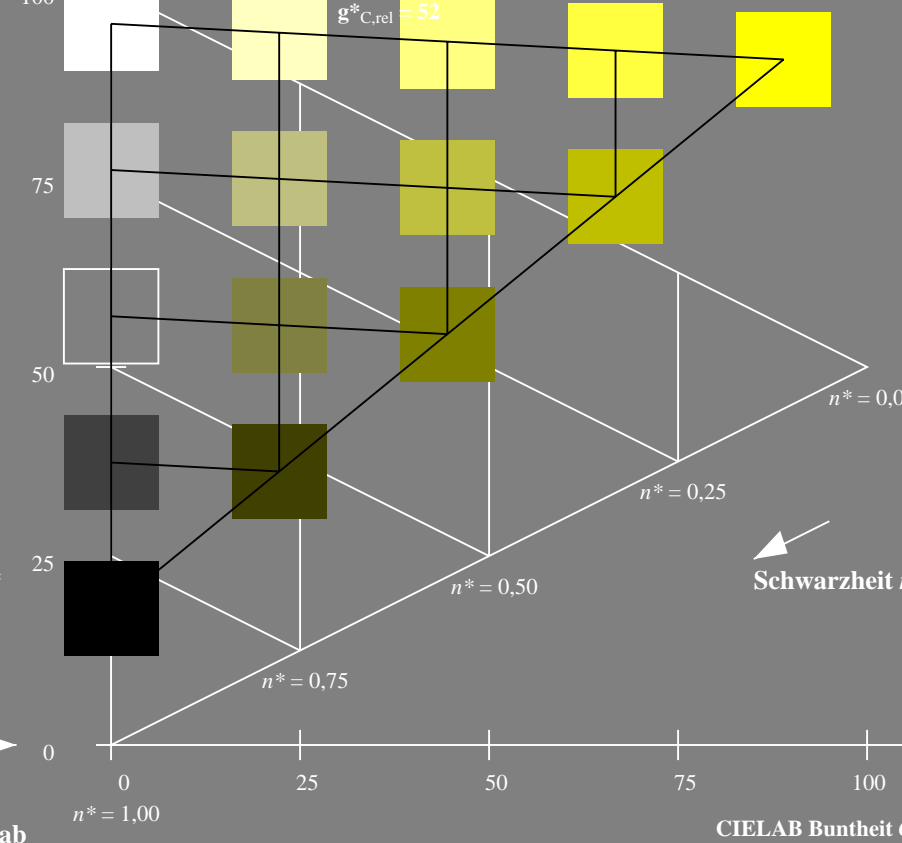
%Umfang

$u^*_{rel} = 91$

%Regularität

$g^*_{H,rel} = 41$

$g^*_{C,rel} = 52$



Schwarzheit  $n^*$

5 stufige Reihen für konstanten CIELAB Buntton  $94/360 = 0.261$  (rechts)

BAM-Prüfvorlage TG30; Farbmimetrik-Systeme ORS18 & MRS18input: olv\* setrgbcolor

D65: Koordinatensysteme; 5stufige Farbreihen für 10 Bunttöne output: no change compared to input

### Eingabe: Farbmimetrisches Reflexions-System ORS18

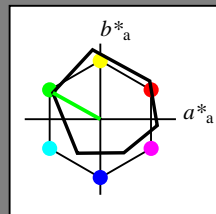
für Buntton  $h^* = lab^*h = 151/360 = 0.419$

LAB\*LCH, LAB\*NCH

D65: Buntton L

LCH\*Ma: 51 72 151

olv\*Ma: 0.0 1.0 0.0



#### ORS18; adaptierte CIELAB-Daten

	$L^*=L_a^*$	$a_a^*$	$b_a^*$	$C_{ab,a}^*$	$h_{ab,a}^*$
O <sub>Ma</sub>	47.94	65.37	50.52	82.62	38
Y <sub>Ma</sub>	90.37	-10.27	91.77	92.34	96
L <sub>Ma</sub>	50.9	-62.79	34.95	71.87	151
C <sub>Ma</sub>	58.62	-30.35	-45.01	54.3	236
V <sub>Ma</sub>	25.71	31.11	-44.42	54.24	305
M <sub>Ma</sub>	48.13	75.27	-8.35	75.73	354
N <sub>Ma</sub>	18.01	0.0	0.0	0.0	0
W <sub>Ma</sub>	95.41	0.0	0.0	0.0	0
R <sub>CIE</sub>	39.92	58.66	26.98	64.56	25
J <sub>CIE</sub>	81.26	-2.17	67.76	67.79	92
G <sub>CIE</sub>	52.23	-42.26	11.75	43.87	164
B <sub>CIE</sub>	30.57	1.15	-46.84	46.87	271

CIELAB-Helligkeit  $L^*$

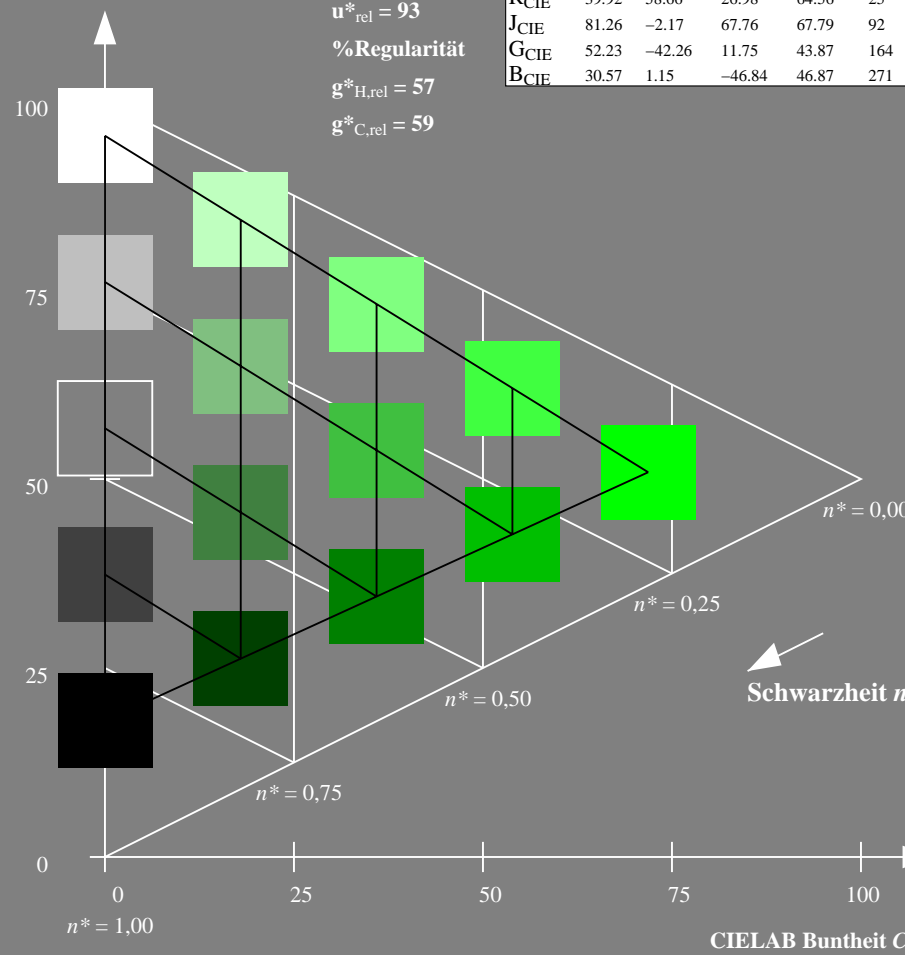
%Umfang

$u_{rel}^* = 93$

%Regularität

$g_{H,rel}^* = 57$

$g_{C,rel}^* = 59$



Schwarzheit  $n^*$

TG300-7, 5 stufige Reihen für konstanten CIELAB Buntton 151/360 = 0.419 (links)

### Ausgabe: Farbmimetrisches Reflexions-System MRS18

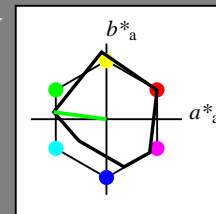
für Buntton  $h^* = lab^*h = 172/360 = 0.479$

LAB\*LCH, LAB\*NCH

D65: Buntton G

LCH\*Ma: 52 70 172

olv\*Ma: 0.0 1.0 0.0



#### MRS18; adaptierte CIELAB-Daten

	$L^*=L_a^*$	$a_a^*$	$b_a^*$	$C_{ab,a}^*$	$h_{ab,a}^*$
R <sub>Ma</sub>	49.63	66.96	38.37	77.18	30
J <sub>Ma</sub>	90.7	-6.36	88.75	88.98	94
G <sub>Ma</sub>	52.11	-69.73	9.44	70.37	172
G50B <sub>Ma</sub>	45.03	-36.57	-28.47	46.36	218
B <sub>Ma</sub>	36.65	23.19	-63.05	67.18	290
B50R <sub>Ma</sub>	34.94	57.17	-44.26	72.31	322
N <sub>Ma</sub>	18.01	0.0	0.0	0.0	0
W <sub>Ma</sub>	95.41	0.0	0.0	0.0	0
R <sub>CIE</sub>	39.92	58.66	26.98	64.56	25
J <sub>CIE</sub>	81.26	-2.17	67.76	67.79	92
G <sub>CIE</sub>	52.23	-42.26	11.75	43.87	164
B <sub>CIE</sub>	30.57	1.15	-46.84	46.87	271

CIELAB-Helligkeit  $L^*$

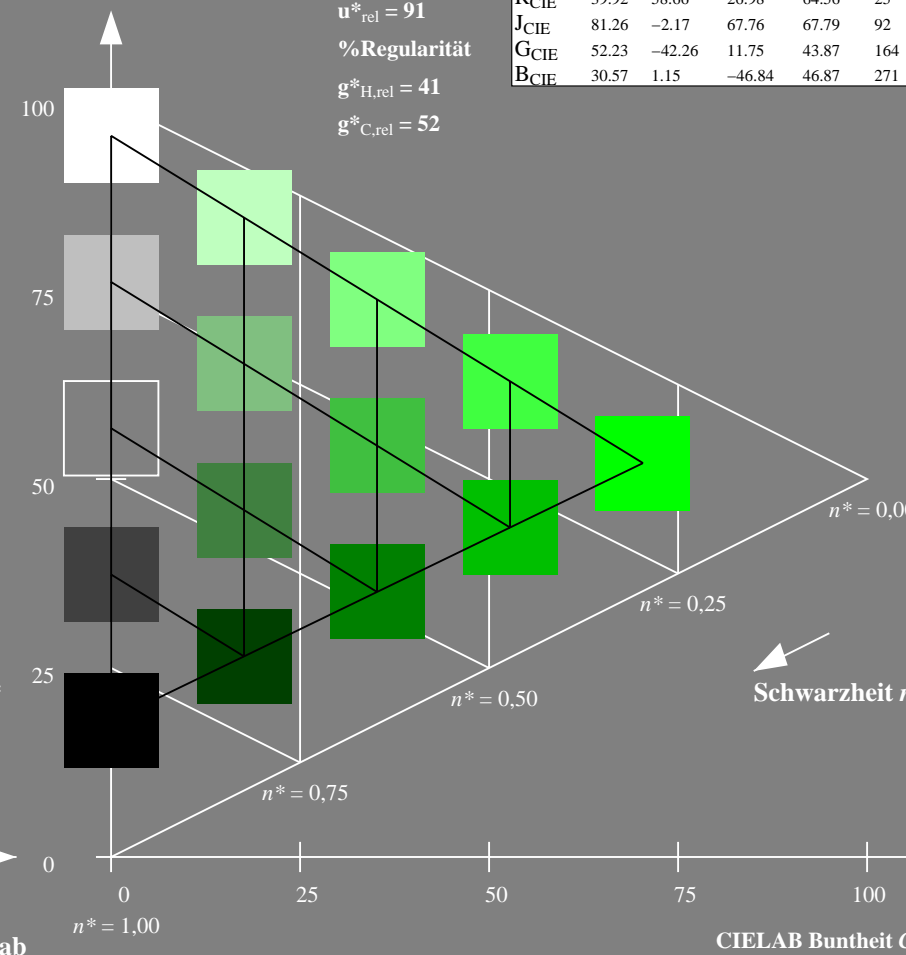
%Umfang

$u_{rel}^* = 91$

%Regularität

$g_{H,rel}^* = 41$

$g_{C,rel}^* = 52$



Schwarzheit  $n^*$

5 stufige Reihen für konstanten CIELAB Buntton 172/360 = 0.479 (rechts)

BAM-Prüfvorlage TG30; Farbmimetrik-Systeme ORS18 & MRS18input: olv\* setrgbcolor

D65: Koordinatensysteme; 5stufige Farbreihen für 10 Bunttöne output: no change compared to input

Eingabe: Farbmimetrisches Reflexions-System ORS18

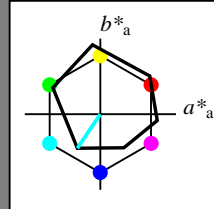
für Buntton  $h^* = lab \cdot h = 236/360 = 0.656$

LAB\*LCH, LAB\*NCH

D65: Buntton C

LCH\*Ma: 59 54 236

olv\*Ma: 0.0 1.0 1.0



ORS18; adaptierte CIELAB-Daten

	$L^*=L_a^*$	$a_a^*$	$b_a^*$	$C_{ab,a}^*$	$h_{ab,a}^*$
O <sub>Ma</sub>	47.94	65.37	50.52	82.62	38
Y <sub>Ma</sub>	90.37	-10.27	91.77	92.34	96
L <sub>Ma</sub>	50.9	-62.79	34.95	71.87	151
C <sub>Ma</sub>	58.62	-30.35	-45.01	54.3	236
V <sub>Ma</sub>	25.71	31.11	-44.42	54.24	305
M <sub>Ma</sub>	48.13	75.27	-8.35	75.73	354
N <sub>Ma</sub>	18.01	0.0	0.0	0.0	0
W <sub>Ma</sub>	95.41	0.0	0.0	0.0	0
R <sub>CIE</sub>	39.92	58.66	26.98	64.56	25
J <sub>CIE</sub>	81.26	-2.17	67.76	67.79	92
G <sub>CIE</sub>	52.23	-42.26	11.75	43.87	164
B <sub>CIE</sub>	30.57	1.15	-46.84	46.87	271

CIELAB-Helligkeit  $L^*$

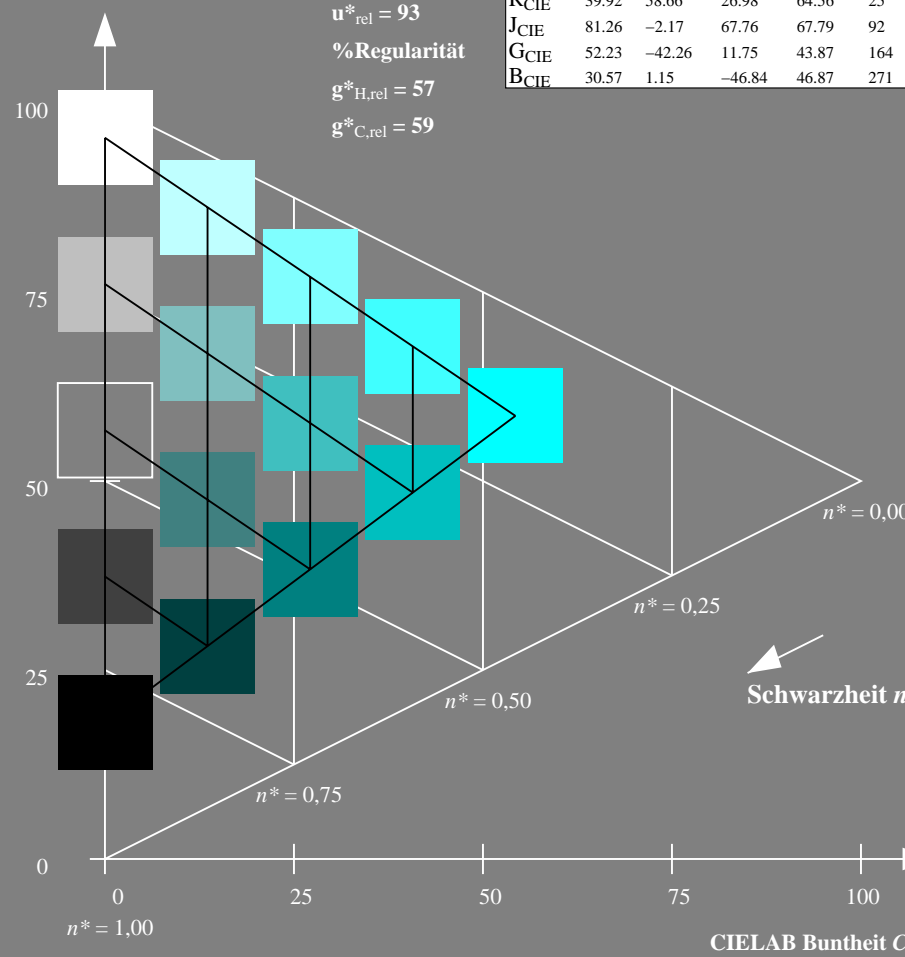
%Umfang

$u_{rel}^* = 93$

%Regularität

$g_{H,rel}^* = 57$

$g_{C,rel}^* = 59$



TG300-7, 5 stufige Reihen für konstanten CIELAB Buntton  $236/360 = 0.656$  (links)

Ausgabe: Farbmimetrisches Reflexions-System MRS18

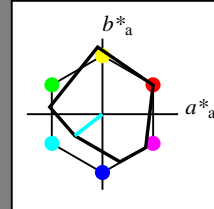
für Buntton  $h^* = lab \cdot h = 218/360 = 0.605$

LAB\*LCH, LAB\*NCH

D65: Buntton G50B

LCH\*Ma: 45 46 218

olv\*Ma: 0.0 1.0 1.0



MRS18; adaptierte CIELAB-Daten

	$L^*=L_a^*$	$a_a^*$	$b_a^*$	$C_{ab,a}^*$	$h_{ab,a}^*$
R <sub>Ma</sub>	49.63	66.96	38.37	77.18	30
J <sub>Ma</sub>	90.7	-6.36	88.75	88.98	94
G <sub>Ma</sub>	52.11	-69.73	9.44	70.37	172
G50B <sub>Ma</sub>	45.03	-36.57	-28.47	46.36	218
B <sub>Ma</sub>	36.65	23.19	-63.05	67.18	290
B50R <sub>Ma</sub>	34.94	57.17	-44.26	72.31	322
N <sub>Ma</sub>	18.01	0.0	0.0	0.0	0
W <sub>Ma</sub>	95.41	0.0	0.0	0.0	0
R <sub>CIE</sub>	39.92	58.66	26.98	64.56	25
J <sub>CIE</sub>	81.26	-2.17	67.76	67.79	92
G <sub>CIE</sub>	52.23	-42.26	11.75	43.87	164
B <sub>CIE</sub>	30.57	1.15	-46.84	46.87	271

CIELAB-Helligkeit  $L^*$

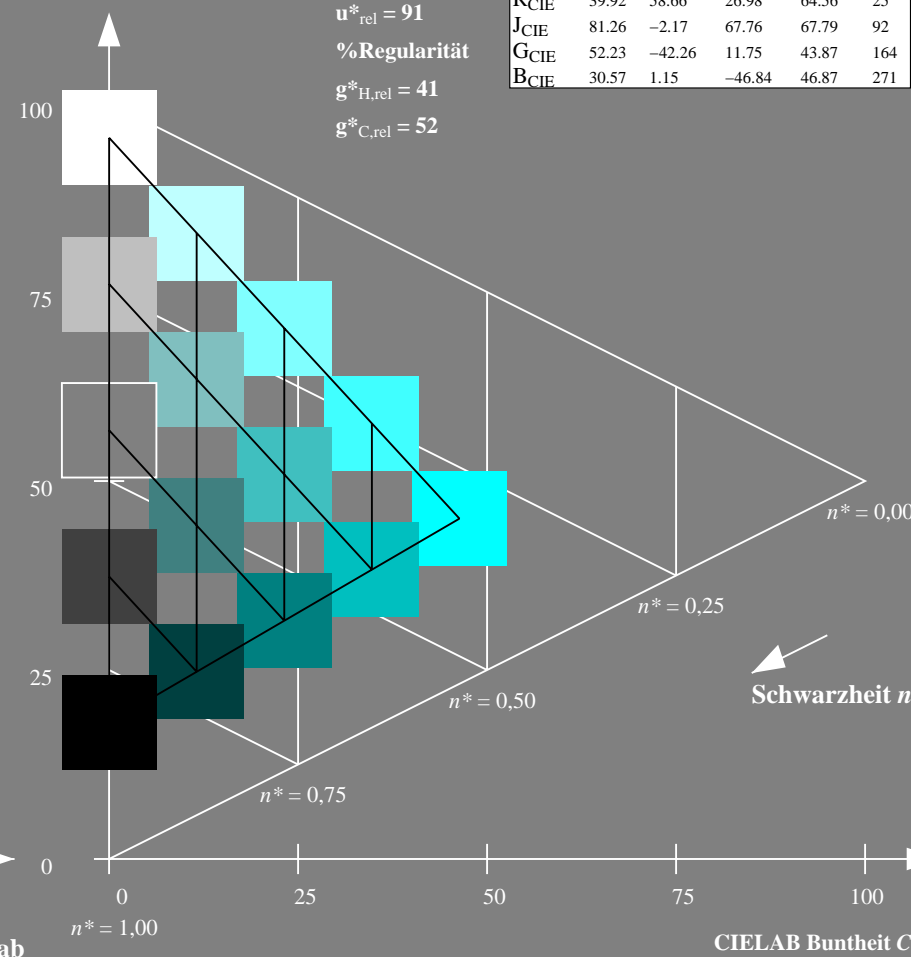
%Umfang

$u_{rel}^* = 91$

%Regularität

$g_{H,rel}^* = 41$

$g_{C,rel}^* = 52$



5 stufige Reihen für konstanten CIELAB Buntton  $218/360 = 0.605$  (rechts)

BAM-Prüfvorlage TG30; Farbmimetrische Systeme ORS18 & MRS18input: olv\* setrgbcolor

D65: Koordinatensysteme; 5stufige Farbreihen für 10 Bunttöne output: no change compared to input

Eingabe: Farbmimetrisches Reflexions-System ORS18

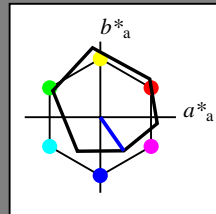
für Buntton  $h^* = lab^*h = 305/360 = 0.847$

LAB\*LCH, LAB\*NCH

D65: Buntton V

LCH\*Ma: 26 54 305

olv\*Ma: 0.0 0.0 1.0



ORS18; adaptierte CIELAB-Daten

	$L^*=L_a^*$	$a_a^*$	$b_a^*$	$C_{ab,a}^*$	$h_{ab,a}^*$
O <sub>Ma</sub>	47.94	65.37	50.52	82.62	38
Y <sub>Ma</sub>	90.37	-10.27	91.77	92.34	96
L <sub>Ma</sub>	50.9	-62.79	34.95	71.87	151
C <sub>Ma</sub>	58.62	-30.35	-45.01	54.3	236
V <sub>Ma</sub>	25.71	31.11	-44.42	54.24	305
M <sub>Ma</sub>	48.13	75.27	-8.35	75.73	354
N <sub>Ma</sub>	18.01	0.0	0.0	0.0	0
W <sub>Ma</sub>	95.41	0.0	0.0	0.0	0
R <sub>CIE</sub>	39.92	58.66	26.98	64.56	25
J <sub>CIE</sub>	81.26	-2.17	67.76	67.79	92
G <sub>CIE</sub>	52.23	-42.26	11.75	43.87	164
B <sub>CIE</sub>	30.57	1.15	-46.84	46.87	271

CIELAB-Helligkeit  $L^*$

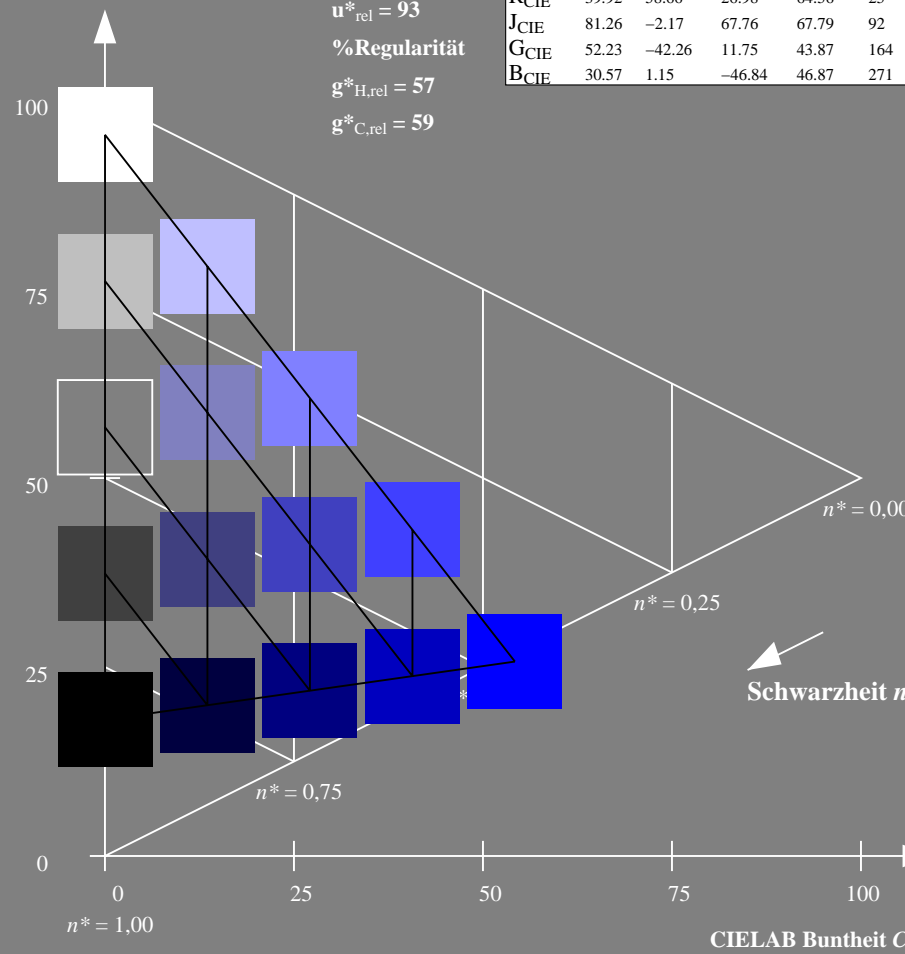
%Umfang

$u_{rel}^* = 93$

%Regularität

$g_{H,rel}^* = 57$

$g_{C,rel}^* = 59$



TG300-7, 5 stufige Reihen für konstanten CIELAB Buntton 305/360 = 0.847 (links)

Ausgabe: Farbmimetrisches Reflexions-System MRS18

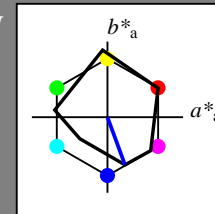
für Buntton  $h^* = lab^*h = 290/360 = 0.806$

LAB\*LCH, LAB\*NCH

D65: Buntton B

LCH\*Ma: 37 67 290

olv\*Ma: 0.0 0.0 1.0



MRS18; adaptierte CIELAB-Daten

	$L^*=L_a^*$	$a_a^*$	$b_a^*$	$C_{ab,a}^*$	$h_{ab,a}^*$
R <sub>Ma</sub>	49.63	66.96	38.37	77.18	30
J <sub>Ma</sub>	90.7	-6.36	88.75	88.98	94
G <sub>Ma</sub>	52.11	-69.73	9.44	70.37	172
G50B <sub>Ma</sub>	45.03	-36.57	-28.47	46.36	218
B <sub>Ma</sub>	36.65	23.19	-63.05	67.18	290
B50R <sub>Ma</sub>	34.94	57.17	-44.26	72.31	322
N <sub>Ma</sub>	18.01	0.0	0.0	0.0	0
W <sub>Ma</sub>	95.41	0.0	0.0	0.0	0
R <sub>CIE</sub>	39.92	58.66	26.98	64.56	25
J <sub>CIE</sub>	81.26	-2.17	67.76	67.79	92
G <sub>CIE</sub>	52.23	-42.26	11.75	43.87	164
B <sub>CIE</sub>	30.57	1.15	-46.84	46.87	271

CIELAB-Helligkeit  $L^*$

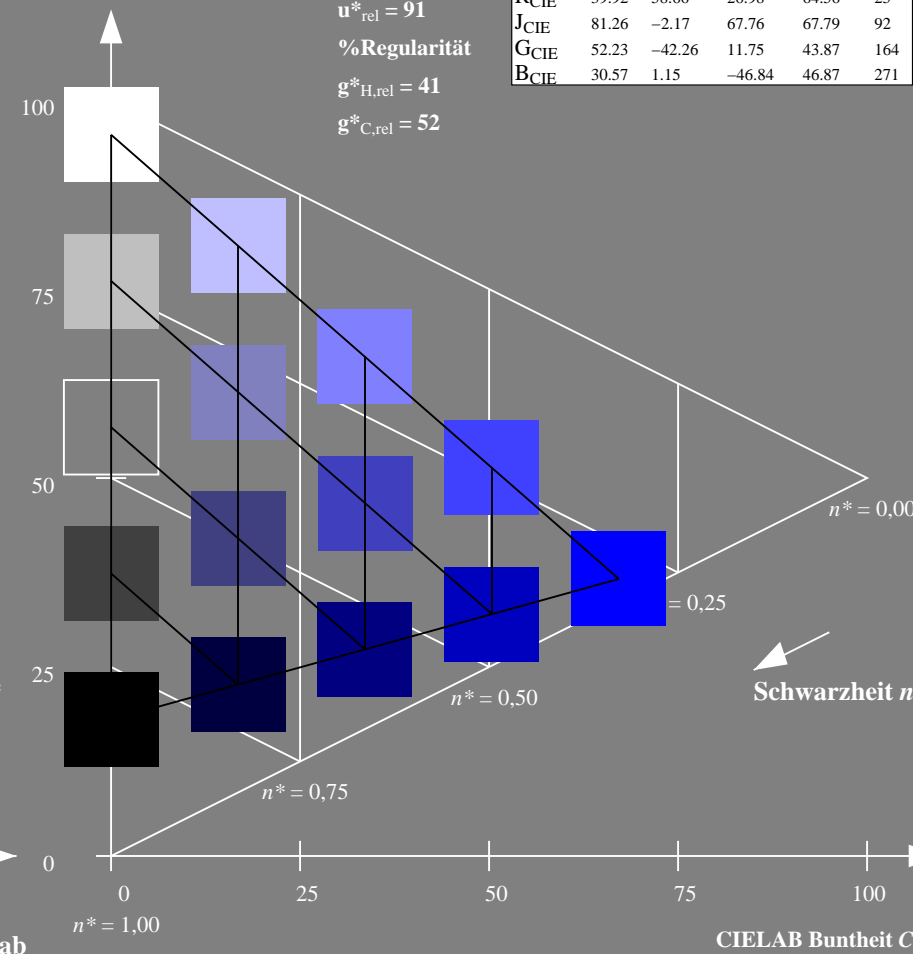
%Umfang

$u_{rel}^* = 91$

%Regularität

$g_{H,rel}^* = 41$

$g_{C,rel}^* = 52$



5 stufige Reihen für konstanten CIELAB Buntton 290/360 = 0.806 (rechts)

BAM-Prüfvorlage TG30; Farbmimetrik-Systeme ORS18 & MRS18input: olv\* setrgbcolor

D65: Koordinatensysteme; 5stufige Farbreihen für 10 Bunttöne output: no change compared to input

Eingabe: Farbmimetrisches Reflexions-System ORS18

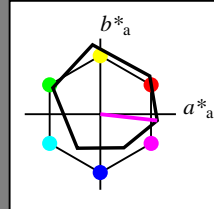
für Buntton  $h^* = lab^*h = 354/360 = 0.982$

LAB\*LCH, LAB\*NCH

D65: Buntton M

LCH\*Ma: 48 76 354

olv\*Ma: 1.0 0.0 1.0



ORS18; adaptierte CIELAB-Daten

	$L^*=L_a^*$	$a_a^*$	$b_a^*$	$C_{ab,a}^*$	$h_{ab,a}^*$
O <sub>Ma</sub>	47.94	65.37	50.52	82.62	38
Y <sub>Ma</sub>	90.37	-10.27	91.77	92.34	96
L <sub>Ma</sub>	50.9	-62.79	34.95	71.87	151
C <sub>Ma</sub>	58.62	-30.35	-45.01	54.3	236
V <sub>Ma</sub>	25.71	31.11	-44.42	54.24	305
M <sub>Ma</sub>	48.13	75.27	-8.35	75.73	354
N <sub>Ma</sub>	18.01	0.0	0.0	0.0	0
W <sub>Ma</sub>	95.41	0.0	0.0	0.0	0
R <sub>CIE</sub>	39.92	58.66	26.98	64.56	25
J <sub>CIE</sub>	81.26	-2.17	67.76	67.79	92
G <sub>CIE</sub>	52.23	-42.26	11.75	43.87	164
B <sub>CIE</sub>	30.57	1.15	-46.84	46.87	271

CIELAB-Helligkeit  $L^*$

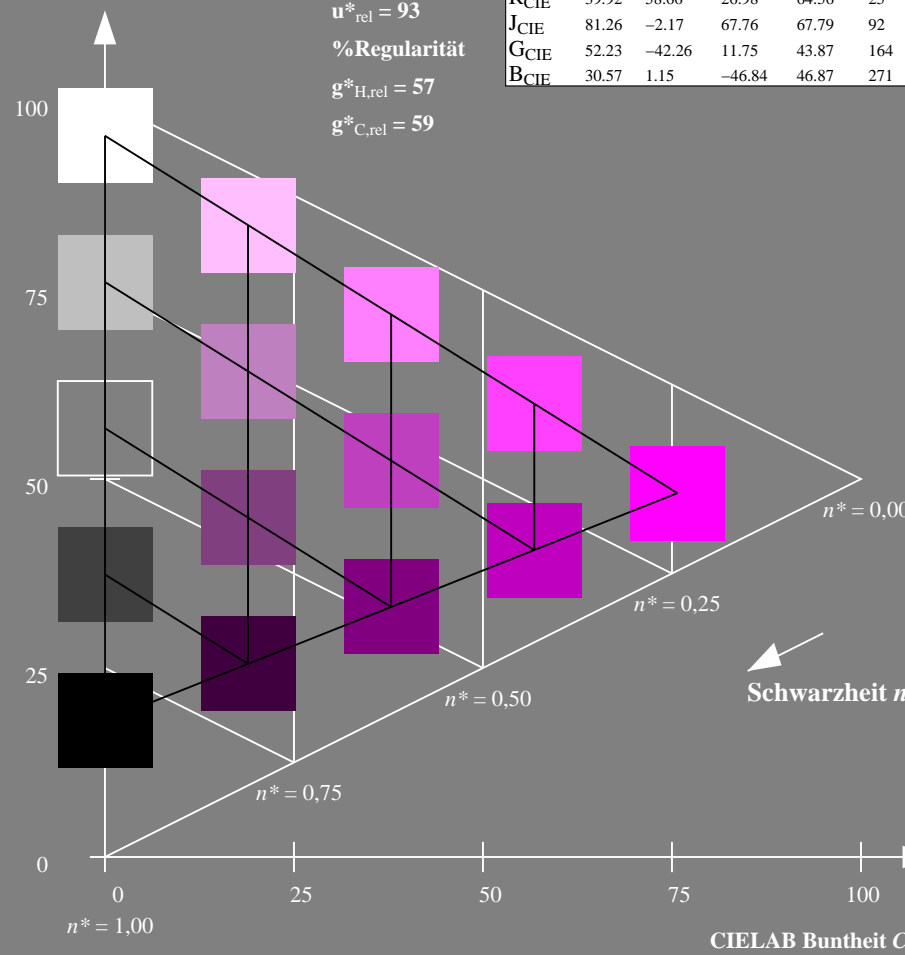
%Umfang

$u_{rel}^* = 93$

%Regularität

$g_{H,rel}^* = 57$

$g_{C,rel}^* = 59$



TG300-7, 5 stufige Reihen für konstanten CIELAB Buntton 354/360 = 0.982 (links)

Ausgabe: Farbmimetrisches Reflexions-System MRS18

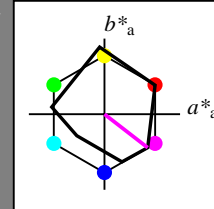
für Buntton  $h^* = lab^*h = 322/360 = 0.895$

LAB\*LCH, LAB\*NCH

D65: Buntton B50R

LCH\*Ma: 35 72 322

olv\*Ma: 1.0 0.0 1.0



MRS18; adaptierte CIELAB-Daten

	$L^*=L_a^*$	$a_a^*$	$b_a^*$	$C_{ab,a}^*$	$h_{ab,a}^*$
R <sub>Ma</sub>	49.63	66.96	38.37	77.18	30
J <sub>Ma</sub>	90.7	-6.36	88.75	88.98	94
G <sub>Ma</sub>	52.11	-69.73	9.44	70.37	172
G50B <sub>Ma</sub>	45.03	-36.57	-28.47	46.36	218
B <sub>Ma</sub>	36.65	23.19	-63.05	67.18	290
B50R <sub>Ma</sub>	34.94	57.17	-44.26	72.31	322
N <sub>Ma</sub>	18.01	0.0	0.0	0.0	0
W <sub>Ma</sub>	95.41	0.0	0.0	0.0	0
R <sub>CIE</sub>	39.92	58.66	26.98	64.56	25
J <sub>CIE</sub>	81.26	-2.17	67.76	67.79	92
G <sub>CIE</sub>	52.23	-42.26	11.75	43.87	164
B <sub>CIE</sub>	30.57	1.15	-46.84	46.87	271

CIELAB-Helligkeit  $L^*$

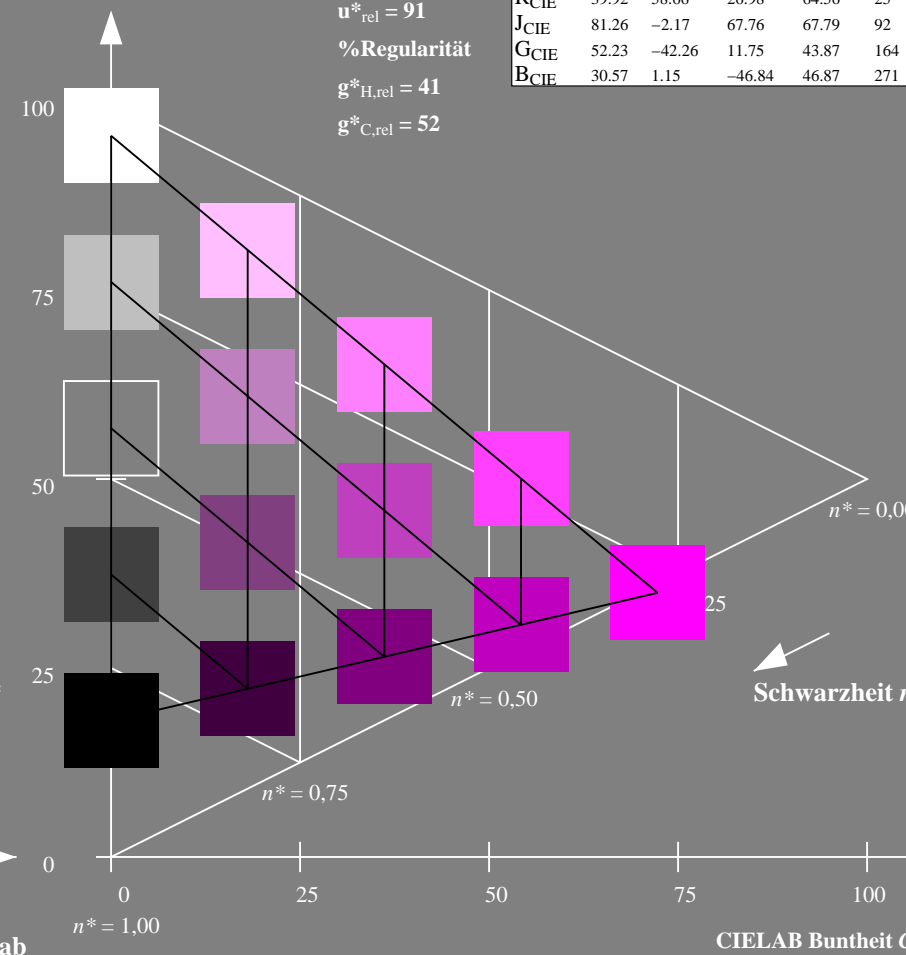
%Umfang

$u_{rel}^* = 91$

%Regularität

$g_{H,rel}^* = 41$

$g_{C,rel}^* = 52$



5 stufige Reihen für konstanten CIELAB Buntton 322/360 = 0.895 (rechts)

BAM-Prüfvorlage TG30; Farbmimetrik-Systeme ORS18 & MRS18input: olv\* setrgbcolor

D65: Koordinatensysteme; 5stufige Farbreihen für 10 Bunttöne output: no change compared to input



**Eingabe: Farbmétrisches Reflexions-System ORS18**

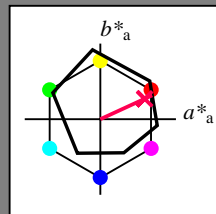
**für Buntton  $h^* = lab^*h = 25/360 = 0.069$**

*LAB\*LCH, LAB\*NCH*

## D65: Buntton R

**LCH\*Ma: 48 75 25**

**olv\*Ma: 1.0 0.0 0.32**



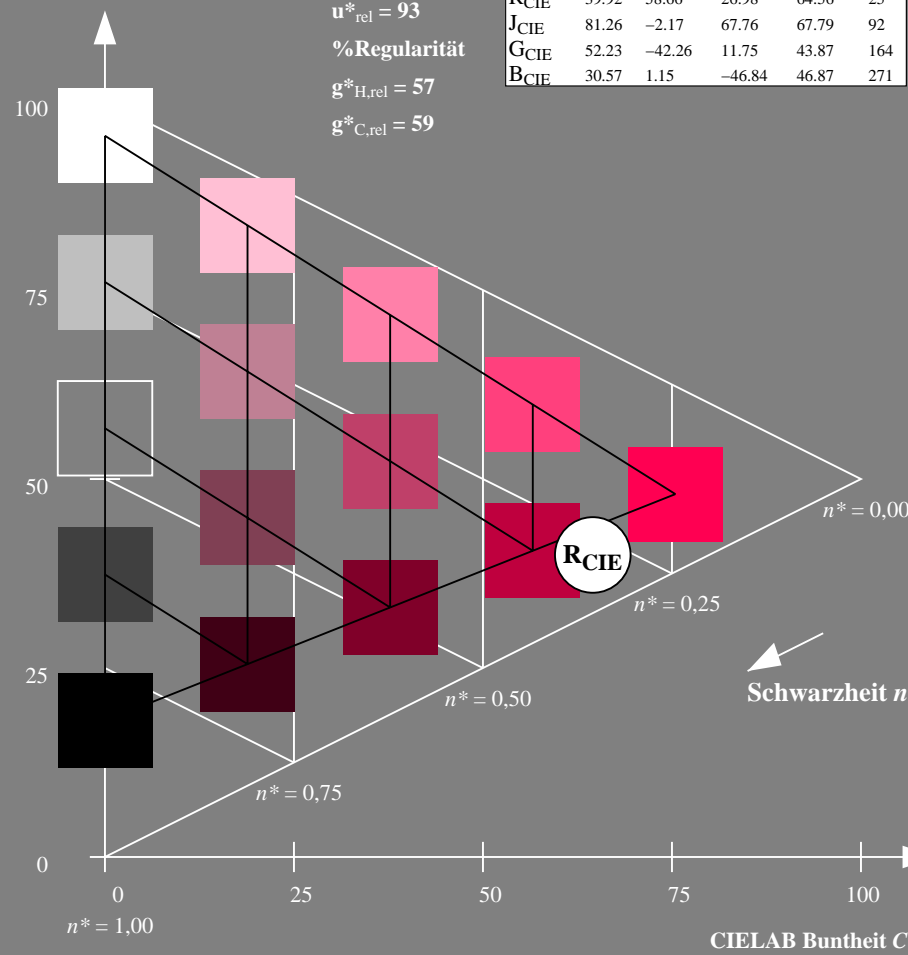
ORS18; adaptierte CIELAB-Daten					
	$L^* = L^*_a$	$a^*_a$	$b^*_a$	$C^*_{ab,a}$	$h^*_{ab,a}$
O <sub>Ma</sub>	47.94	65.37	50.52	82.62	38
Y <sub>Ma</sub>	90.37	-10.27	91.77	92.34	96
L <sub>Ma</sub>	50.9	-62.79	34.95	71.87	151
C <sub>Ma</sub>	58.62	-30.35	-45.01	54.3	236
V <sub>Ma</sub>	25.71	31.11	-44.42	54.24	305
M <sub>Ma</sub>	48.13	75.27	-8.35	75.73	354
N <sub>Ma</sub>	18.01	0.0	0.0	0.0	0
W <sub>Ma</sub>	95.41	0.0	0.0	0.0	0
R <sub>CIE</sub>	39.92	58.66	26.98	64.56	25
J <sub>CIE</sub>	81.26	-2.17	67.76	67.79	92
G <sub>CIE</sub>	52.23	-42.26	11.75	43.87	164
B <sub>CIE</sub>	30.57	1.15	-46.84	46.87	27

CIELAB-Helligkeit  $L^*$ 

**%Umfang**

$$\mathbf{u}_{\text{rel}}^* = 93$$

### %Regularität

$$g^*_{H,rel} = 57$$
$$g^*_{C_{rel}} = 59$$
TG300-7, 5 stufige Reihen für konstanten CIELAB Buntton  $25/360 = 0.069$  (links)

BAM-Prüfvorlage TG30; Farbmatrik-Systeme ORS18 & MRS18input: *olv\* setrgbcolor*

D65: Koordinatensysteme; 5stufige Farbreihen für 10 Bunttöne    output: *no change compared to input*

**Ausgabe: Farbmétrisches Reflexions-System MRS18**

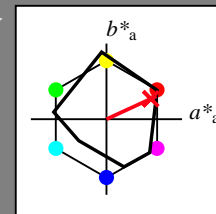
**für Buntton  $h^* = lab^*h = 25/360 = 0.069$**

*LAB\*LCH, LAB\*NCH*

## D65: Buntton R

**LCH\*Ma: 48 73 25**

**olv\*Ma: 1.0 0.0 0.1**



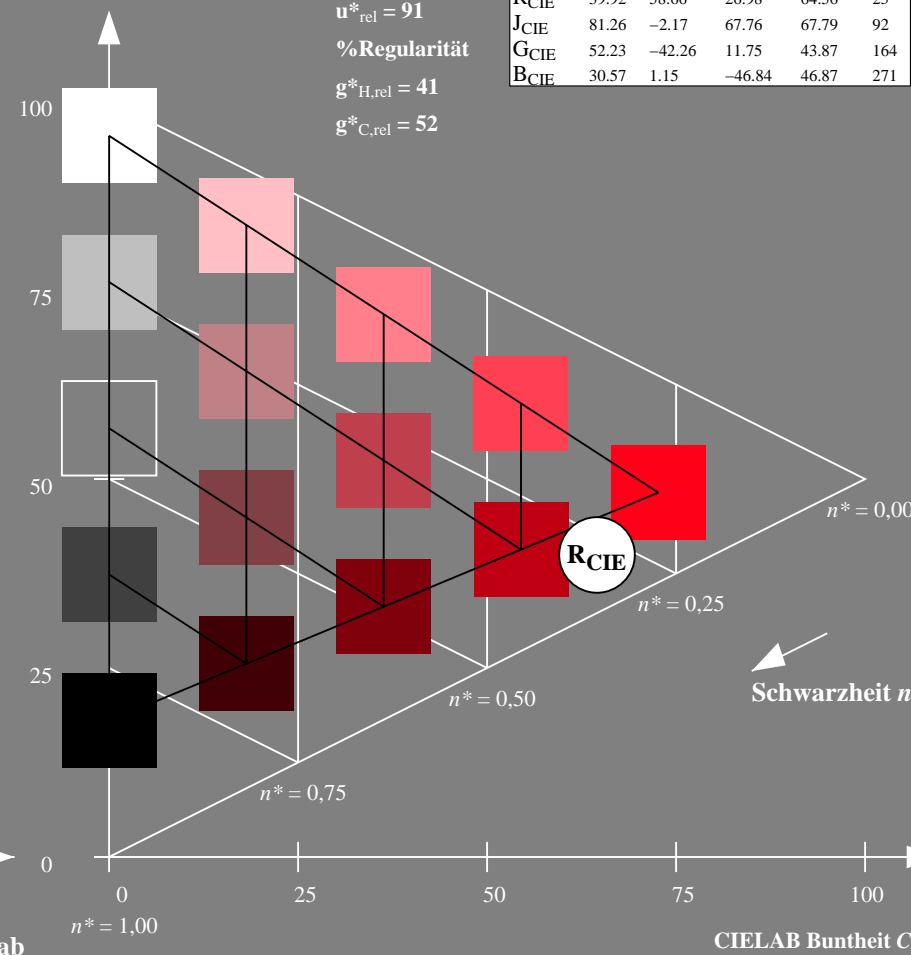
MRS18; adaptierte CIELAB-Daten					
	$L^*_{\text{a}}$	$a^*_{\text{a}}$	$b^*_{\text{a}}$	$C^*_{\text{ab,a}}$	$h^*_{\text{ab,a}}$
R <sub>Ma</sub>	49.63	66.96	38.37	77.18	30
J <sub>Ma</sub>	90.7	-6.36	88.75	88.98	94
G <sub>Ma</sub>	52.11	-69.73	9.44	70.37	172
G50B <sub>Ma</sub>	45.03	-36.57	-28.47	46.36	218
B <sub>Ma</sub>	36.65	23.19	-63.05	67.18	290
B50R <sub>Ma</sub>	34.94	57.17	-44.26	72.31	322
N <sub>Ma</sub>	18.01	0.0	0.0	0.0	0
W <sub>Ma</sub>	95.41	0.0	0.0	0.0	0
R <sub>CIE</sub>	39.92	58.66	26.98	64.56	25
J <sub>CIE</sub>	81.26	-2.17	67.76	67.79	92
G <sub>CIE</sub>	52.23	-42.26	11.75	43.87	164
B <sub>CIE</sub>	30.57	1.15	-46.84	46.87	271

**CIELAB-Helligkeit  $L^*$** 

**%Umfang**

$$\mathbf{u}_{\text{rel}}^* = 91$$

### %Regularität

$$g^*_{H,rel} = 41$$
$$g^*_{C_{rel}} = 52$$
5 stufige Reihen für konstanten CIELAB Buntton  $25/360 = 0.069$  (rechts)

### Eingabe: Farbmimetrisches Reflexions-System ORS18

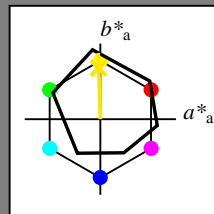
für Buntton  $h^* = lab^*h = 92/360 = 0.255$

LAB\*LCH, LAB\*NCH

D65: Buntton J

LCH\*Ma: 86 88 92

olv\*Ma: 1.0 0.9 0.0



#### ORS18; adaptierte CIELAB-Daten

	$L^*=L_a^*$	$a_a^*$	$b_a^*$	$C_{ab,a}^*$	$h_{ab,a}^*$
O <sub>Ma</sub>	47.94	65.37	50.52	82.62	38
Y <sub>Ma</sub>	90.37	-10.27	91.77	92.34	96
L <sub>Ma</sub>	50.9	-62.79	34.95	71.87	151
C <sub>Ma</sub>	58.62	-30.35	-45.01	54.3	236
V <sub>Ma</sub>	25.71	31.11	-44.42	54.24	305
M <sub>Ma</sub>	48.13	75.27	-8.35	75.73	354
N <sub>Ma</sub>	18.01	0.0	0.0	0.0	0
W <sub>Ma</sub>	95.41	0.0	0.0	0.0	0
R <sub>CIE</sub>	39.92	58.66	26.98	64.56	25
J <sub>CIE</sub>	81.26	-2.17	67.76	67.79	92
G <sub>CIE</sub>	52.23	-42.26	11.75	43.87	164
B <sub>CIE</sub>	30.57	1.15	-46.84	46.87	271

CIELAB-Helligkeit  $L^*$

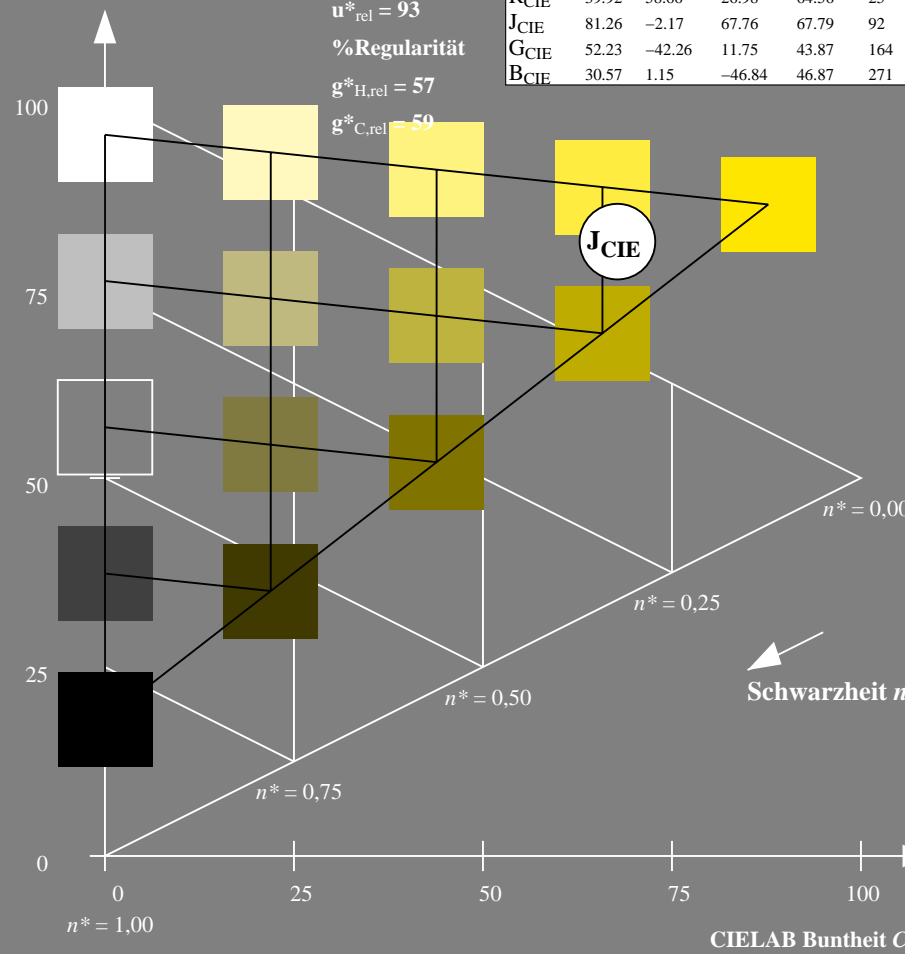
%Umfang

$u_{rel}^* = 93$

%Regularität

$g_{H,rel}^* = 57$

$g_{C,rel}^* = 59$



TG300-7, 5 stufige Reihen für konstanten CIELAB Buntton  $92/360 = 0.255$  (links)

### Ausgabe: Farbmimetrisches Reflexions-System MRS18

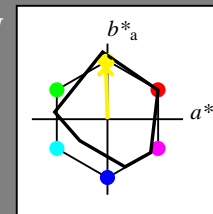
für Buntton  $h^* = lab^*h = 92/360 = 0.255$

LAB\*LCH, LAB\*NCH

D65: Buntton J

LCH\*Ma: 89 86 92

olv\*Ma: 1.0 0.95 0.0



#### MRS18; adaptierte CIELAB-Daten

	$L^*=L_a^*$	$a_a^*$	$b_a^*$	$C_{ab,a}^*$	$h_{ab,a}^*$
R <sub>Ma</sub>	49.63	66.96	38.37	77.18	30
J <sub>Ma</sub>	90.7	-6.36	88.75	88.98	94
G <sub>Ma</sub>	52.11	-69.73	9.44	70.37	172
G50B <sub>Ma</sub>	45.03	-36.57	-28.47	46.36	218
B <sub>Ma</sub>	36.65	23.19	-63.05	67.18	290
B50R <sub>Ma</sub>	34.94	57.17	-44.26	72.31	322
N <sub>Ma</sub>	18.01	0.0	0.0	0.0	0
W <sub>Ma</sub>	95.41	0.0	0.0	0.0	0
R <sub>CIE</sub>	39.92	58.66	26.98	64.56	25
J <sub>CIE</sub>	81.26	-2.17	67.76	67.79	92
G <sub>CIE</sub>	52.23	-42.26	11.75	43.87	164
B <sub>CIE</sub>	30.57	1.15	-46.84	46.87	271

CIELAB-Helligkeit  $L^*$

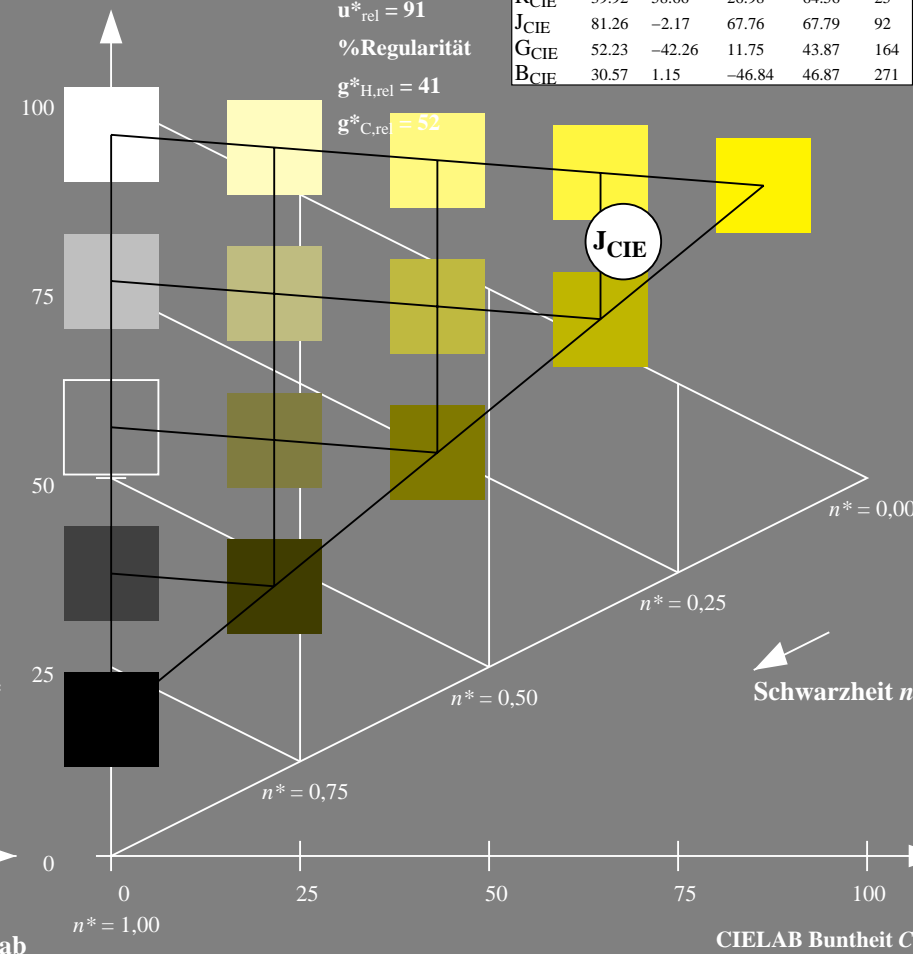
%Umfang

$u_{rel}^* = 91$

%Regularität

$g_{H,rel}^* = 41$

$g_{C,rel}^* = 52$



5 stufige Reihen für konstanten CIELAB Buntton  $92/360 = 0.255$  (rechts)

BAM-Prüfvorlage TG30; Farbmimetrik-Systeme ORS18 & MRS18input: olv\* setrgbcolor

D65: Koordinatensysteme; 5stufige Farbreihen für 10 Bunttöne output: no change compared to input



Eingabe: Farbmimetrisches Reflexions-System ORS18

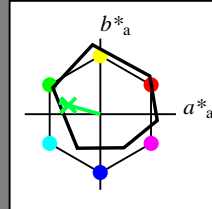
für Buntton  $h^* = lab^*h = 164/360 = 0.457$

LAB\*LCH, LAB\*NCH

D65: Buntton G

LCH\*Ma: 53 57 164

olv\*Ma: 0.0 1.0 0.25



ORS18; adaptierte CIELAB-Daten

	$L^*=L_a^*$	$a_a^*$	$b_a^*$	$C_{ab,a}^*$	$h_{ab,a}^*$
O <sub>Ma</sub>	47.94	65.37	50.52	82.62	38
Y <sub>Ma</sub>	90.37	-10.27	91.77	92.34	96
L <sub>Ma</sub>	50.9	-62.79	34.95	71.87	151
C <sub>Ma</sub>	58.62	-30.35	-45.01	54.3	236
V <sub>Ma</sub>	25.71	31.11	-44.42	54.24	305
M <sub>Ma</sub>	48.13	75.27	-8.35	75.73	354
N <sub>Ma</sub>	18.01	0.0	0.0	0.0	0
W <sub>Ma</sub>	95.41	0.0	0.0	0.0	0
R <sub>CIE</sub>	39.92	58.66	26.98	64.56	25
J <sub>CIE</sub>	81.26	-2.17	67.76	67.79	92
G <sub>CIE</sub>	52.23	-42.26	11.75	43.87	164
B <sub>CIE</sub>	30.57	1.15	-46.84	46.87	271

CIELAB-Helligkeit  $L^*$

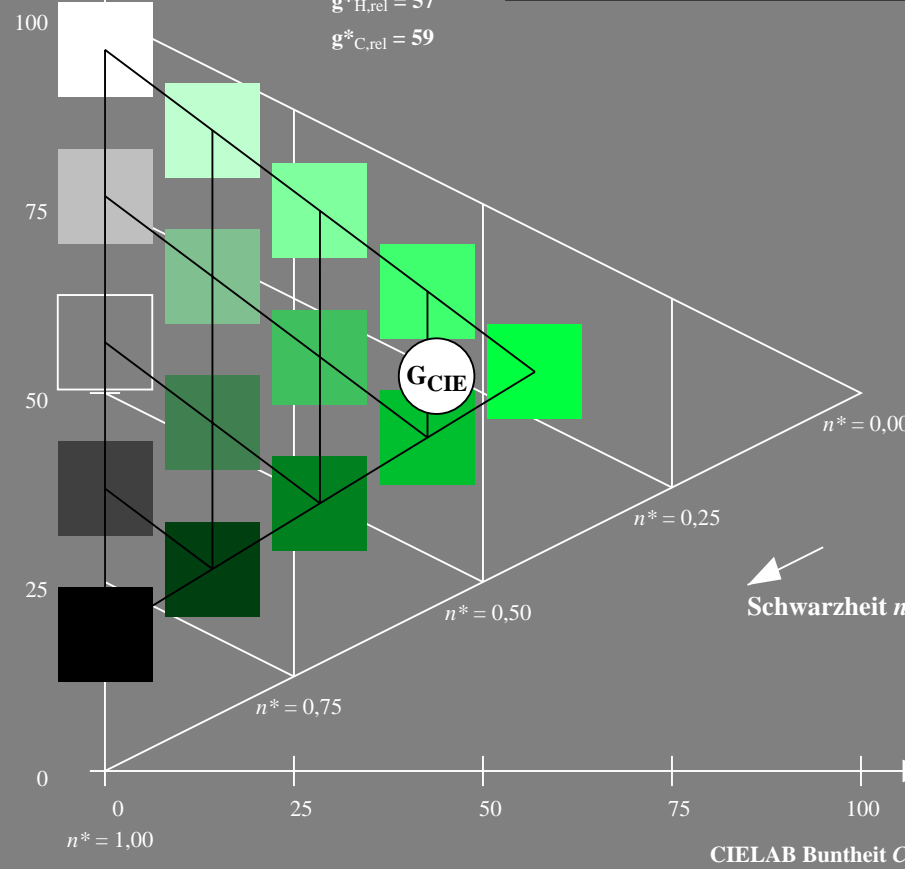
%Umfang

$u_{rel}^* = 93$

%Regularität

$g_{H,rel}^* = 57$

$g_{C,rel}^* = 59$



TG300-7, 5 stufige Reihen für konstanten CIELAB Buntton 164/360 = 0.457 (links)

Ausgabe: Farbmimetrisches Reflexions-System MRS18

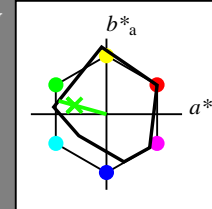
für Buntton  $h^* = lab^*h = 164/360 = 0.457$

LAB\*LCH, LAB\*NCH

D65: Buntton G

LCH\*Ma: 56 66 164

olv\*Ma: 0.1 1.0 0.0



MRS18; adaptierte CIELAB-Daten

	$L^*=L_a^*$	$a_a^*$	$b_a^*$	$C_{ab,a}^*$	$h_{ab,a}^*$
R <sub>Ma</sub>	49.63	66.96	38.37	77.18	30
J <sub>Ma</sub>	90.7	-6.36	88.75	88.98	94
G <sub>Ma</sub>	52.11	-69.73	9.44	70.37	172
G50B <sub>Ma</sub>	45.03	-36.57	-28.47	46.36	218
B <sub>Ma</sub>	36.65	23.19	-63.05	67.18	290
B50R <sub>Ma</sub>	34.94	57.17	-44.26	72.31	322
N <sub>Ma</sub>	18.01	0.0	0.0	0.0	0
W <sub>Ma</sub>	95.41	0.0	0.0	0.0	0
R <sub>CIE</sub>	39.92	58.66	26.98	64.56	25
J <sub>CIE</sub>	81.26	-2.17	67.76	67.79	92
G <sub>CIE</sub>	52.23	-42.26	11.75	43.87	164
B <sub>CIE</sub>	30.57	1.15	-46.84	46.87	271

CIELAB-Helligkeit  $L^*$

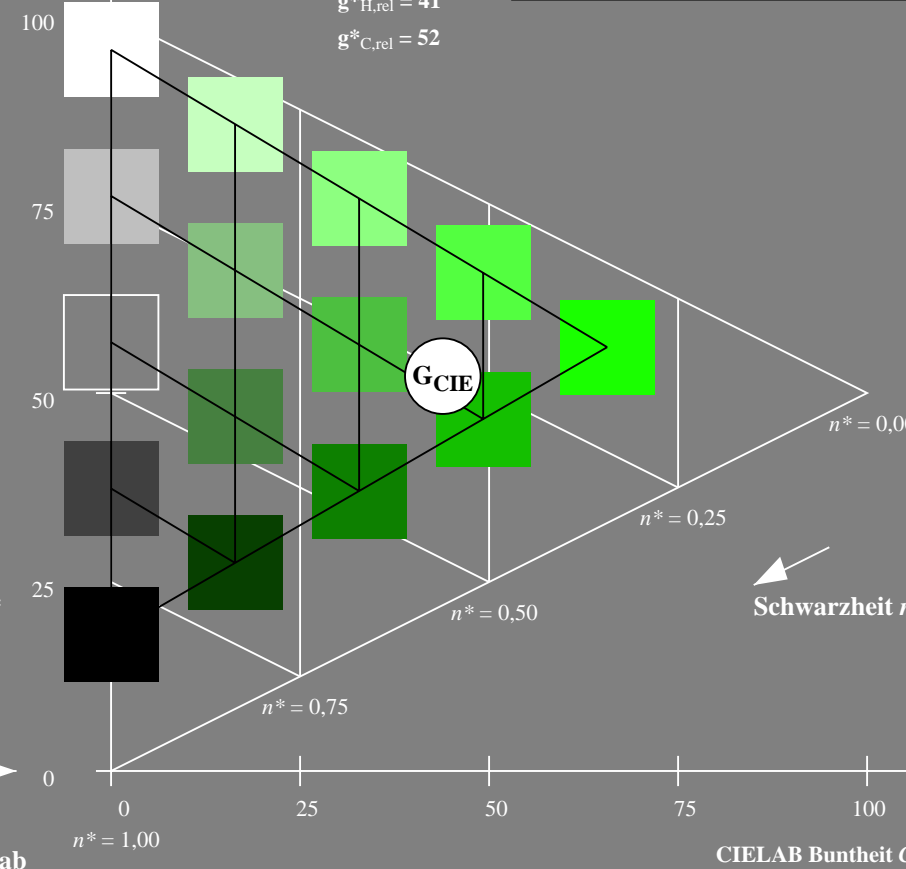
%Umfang

$u_{rel}^* = 91$

%Regularität

$g_{H,rel}^* = 41$

$g_{C,rel}^* = 52$



5 stufige Reihen für konstanten CIELAB Buntton 164/360 = 0.457 (rechts)

BAM-Prüfvorlage TG30; Farbmimetrische-Systeme ORS18 & MRS18input: olv\* setrgbcolor

D65: Koordinatensysteme; 5stufige Farbreihen für 10 Bunttöne output: no change compared to input

Eingabe: Farbmimetrisches Reflexions-System ORS18

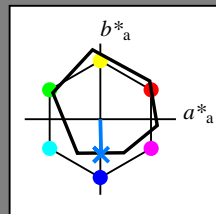
für Buntton  $h^* = lab^*h = 271/360 = 0.754$

LAB\*LCH, LAB\*NCH

D65: Buntton B

LCH\*Ma: 42 45 271

olv\*Ma: 0.0 0.49 1.0



ORS18; adaptierte CIELAB-Daten

	$L^*=L_a^*$	$a_a^*$	$b_a^*$	$C_{ab,a}^*$	$h_{ab,a}^*$
O <sub>Ma</sub>	47.94	65.37	50.52	82.62	38
Y <sub>Ma</sub>	90.37	-10.27	91.77	92.34	96
L <sub>Ma</sub>	50.9	-62.79	34.95	71.87	151
C <sub>Ma</sub>	58.62	-30.35	-45.01	54.3	236
V <sub>Ma</sub>	25.71	31.11	-44.42	54.24	305
M <sub>Ma</sub>	48.13	75.27	-8.35	75.73	354
N <sub>Ma</sub>	18.01	0.0	0.0	0.0	0
W <sub>Ma</sub>	95.41	0.0	0.0	0.0	0
R <sub>CIE</sub>	39.92	58.66	26.98	64.56	25
J <sub>CIE</sub>	81.26	-2.17	67.76	67.79	92
G <sub>CIE</sub>	52.23	-42.26	11.75	43.87	164
B <sub>CIE</sub>	30.57	1.15	-46.84	46.87	271

CIELAB-Helligkeit  $L^*$

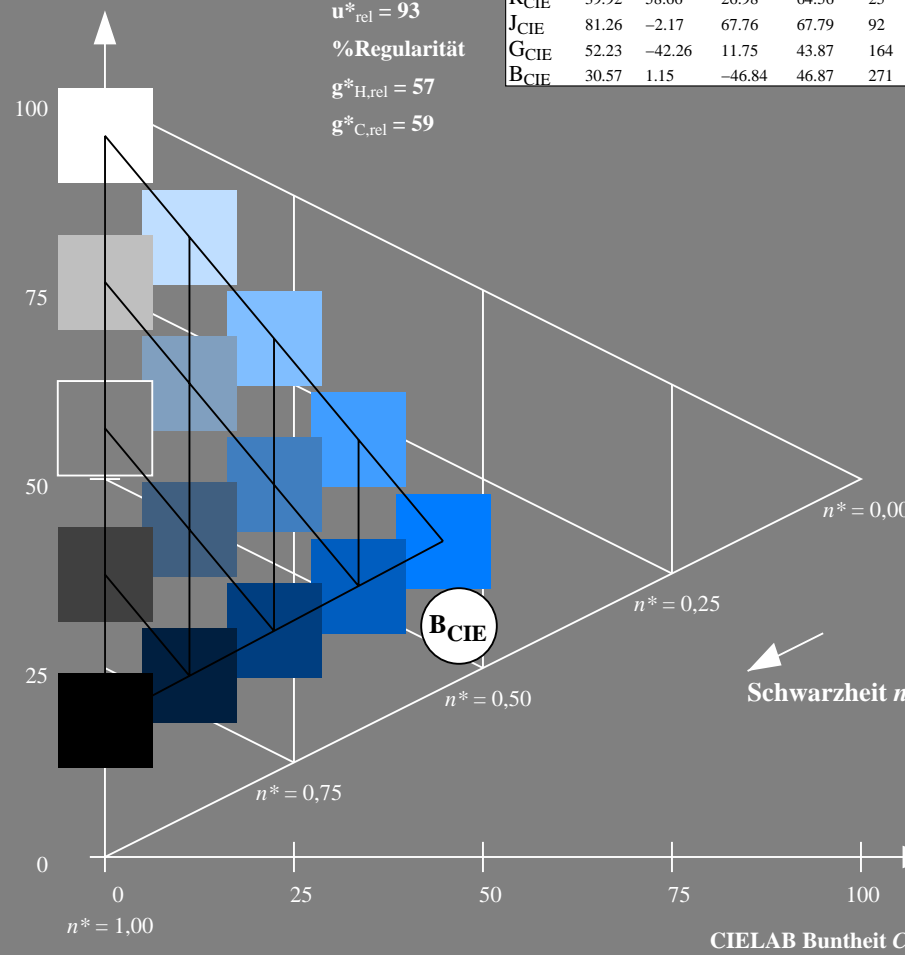
%Umfang

$u_{rel}^* = 93$

%Regularität

$g_{H,rel}^* = 57$

$g_{C,rel}^* = 59$



TG300-7, 5 stufige Reihen für konstanten CIELAB Buntton  $271/360 = 0.754$  (links)

Ausgabe: Farbmimetrisches Reflexions-System MRS18

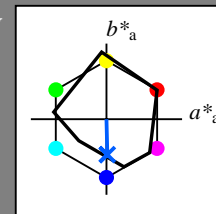
für Buntton  $h^* = lab^*h = 271/360 = 0.754$

LAB\*LCH, LAB\*NCH

D65: Buntton B

LCH\*Ma: 40 50 271

olv\*Ma: 0.0 0.37 1.0



MRS18; adaptierte CIELAB-Daten

	$L^*=L_a^*$	$a_a^*$	$b_a^*$	$C_{ab,a}^*$	$h_{ab,a}^*$
R <sub>Ma</sub>	49.63	66.96	38.37	77.18	30
J <sub>Ma</sub>	90.7	-6.36	88.75	88.98	94
G <sub>Ma</sub>	52.11	-69.73	9.44	70.37	172
G50B <sub>Ma</sub>	45.03	-36.57	-28.47	46.36	218
B <sub>Ma</sub>	36.65	23.19	-63.05	67.18	290
B50R <sub>Ma</sub>	34.94	57.17	-44.26	72.31	322
N <sub>Ma</sub>	18.01	0.0	0.0	0.0	0
W <sub>Ma</sub>	95.41	0.0	0.0	0.0	0
R <sub>CIE</sub>	39.92	58.66	26.98	64.56	25
J <sub>CIE</sub>	81.26	-2.17	67.76	67.79	92
G <sub>CIE</sub>	52.23	-42.26	11.75	43.87	164
B <sub>CIE</sub>	30.57	1.15	-46.84	46.87	271

CIELAB-Helligkeit  $L^*$

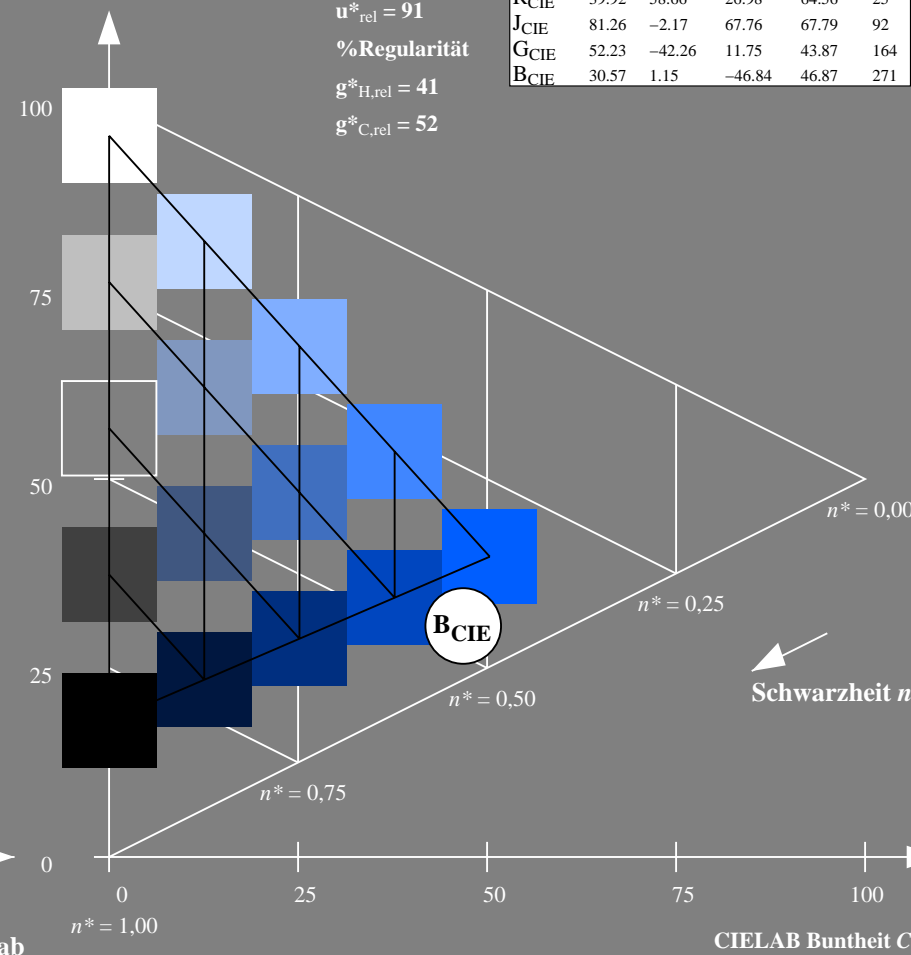
%Umfang

$u_{rel}^* = 91$

%Regularität

$g_{H,rel}^* = 41$

$g_{C,rel}^* = 52$



5 stufige Reihen für konstanten CIELAB Buntton  $271/360 = 0.754$  (rechts)

BAM-Prüfvorlage TG30; Farbmimetrische Systeme ORS18 & MRS18input: olv\* setrgbcolor

D65: Koordinatensysteme; 5stufige Farbreihen für 10 Bunttöne output: no change compared to input